

# Simulazioni numeriche

## Caso non relativistico unidimensionale

$$1) \quad \frac{\partial H_x}{\partial t} = \frac{1}{\mu_0} \frac{\partial E_y}{\partial z}$$

$$2) \quad \frac{\partial E_y}{\partial t} = \frac{1}{\epsilon_0} \frac{\partial H_x}{\partial z} - \frac{1}{\epsilon_0} J_y$$

$$3) \quad J_y = -enc\beta_y$$

$$4) \quad \frac{\partial n}{\partial t} + c \frac{\partial n\beta_z}{\partial z} = 0$$

$$5) \quad \frac{\partial \beta_y}{\partial t} = -\frac{e}{mc} (E_y + \mu_0 c \beta_z H_x)$$

$$6) \quad \frac{\partial \beta_z}{\partial t} + c \beta_z \frac{\partial \beta_z}{\partial z} = \frac{e}{m} \mu_0 c \beta_y H_x$$

Le equazioni di Maxwell, di continuità e del modello fluido del plasma descrivono completamente l'interazione di un'onda e.m. con un plasma.

# Simulazioni numeriche

## FDTD

Spazio e tempo sono discretizzati;

Sistema accoppiato, bisogna stabilire un ordine di aggiornamento delle variabili, sia spaziale che temporale;

Condizioni iniziali:

$$n_0 = \text{cost}, \beta_{y0} = 0, \beta_{z0} = 0, H_{x0} = 0,$$

$E_{y0}$  = impulso gaussiano con e senza portante ottica;

Condizioni al bordo: Absorbing Boundary Condition (ABC)

1° ordine;

Uso del Predictor Corrector dove necessario.

# Simulazioni numeriche

## Struttura del programma

for (t = 0; t < maxtime; t++) {

$$H_x^{t+1/2} = f(H_x^{t-1/2}, E^t)$$

$$\beta_y^{t+1/2} = f(H_x^{t+1/2}, H_x^{t-1/2}, E^t, \beta_z^t)$$

$$n^{t+1/2} = f(\beta_z^t, n^{t+1/2}, n^{t1/2})$$

$$J_y^{t+1/2} = f(\beta_y^{t+1/2}, n^{t+1/2})$$

$$E_x^{t+1} = f(H_x^{t+1/2}, E^t, J_y^{t1/2})$$

$$\beta_z^{t+1} = f(\beta_y^{t+1/2}, \beta_z^t, \beta_z^{t+1}, H_y^{t1/2})$$

}

# Simulazioni numeriche

## Verifica del programma

Per verificare il funzionamento si calcola la conducibilità del plasma, trascurando gli effetti del campo magnetico, poiché:

$$H \sim 10^{-3} E$$

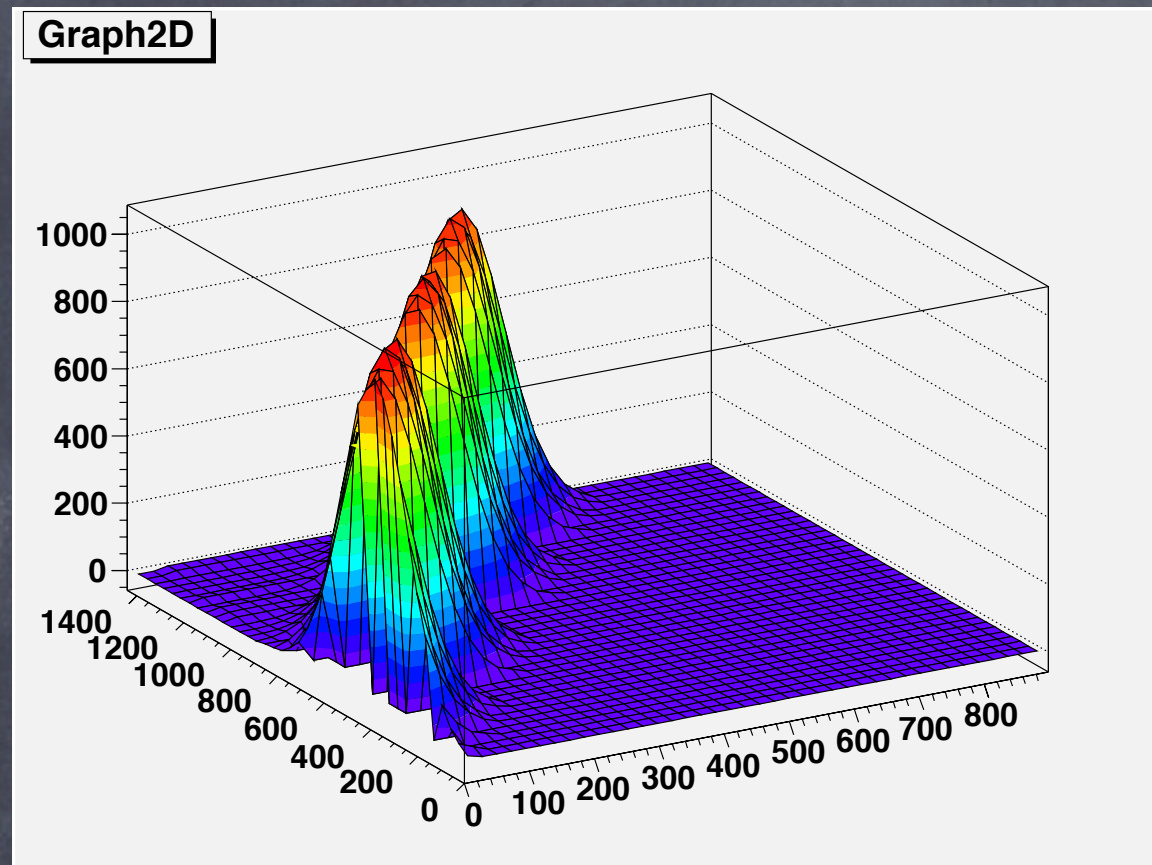
per piccole oscillazioni si ottiene:

$$\sigma = \frac{e^2 n}{n \omega}$$

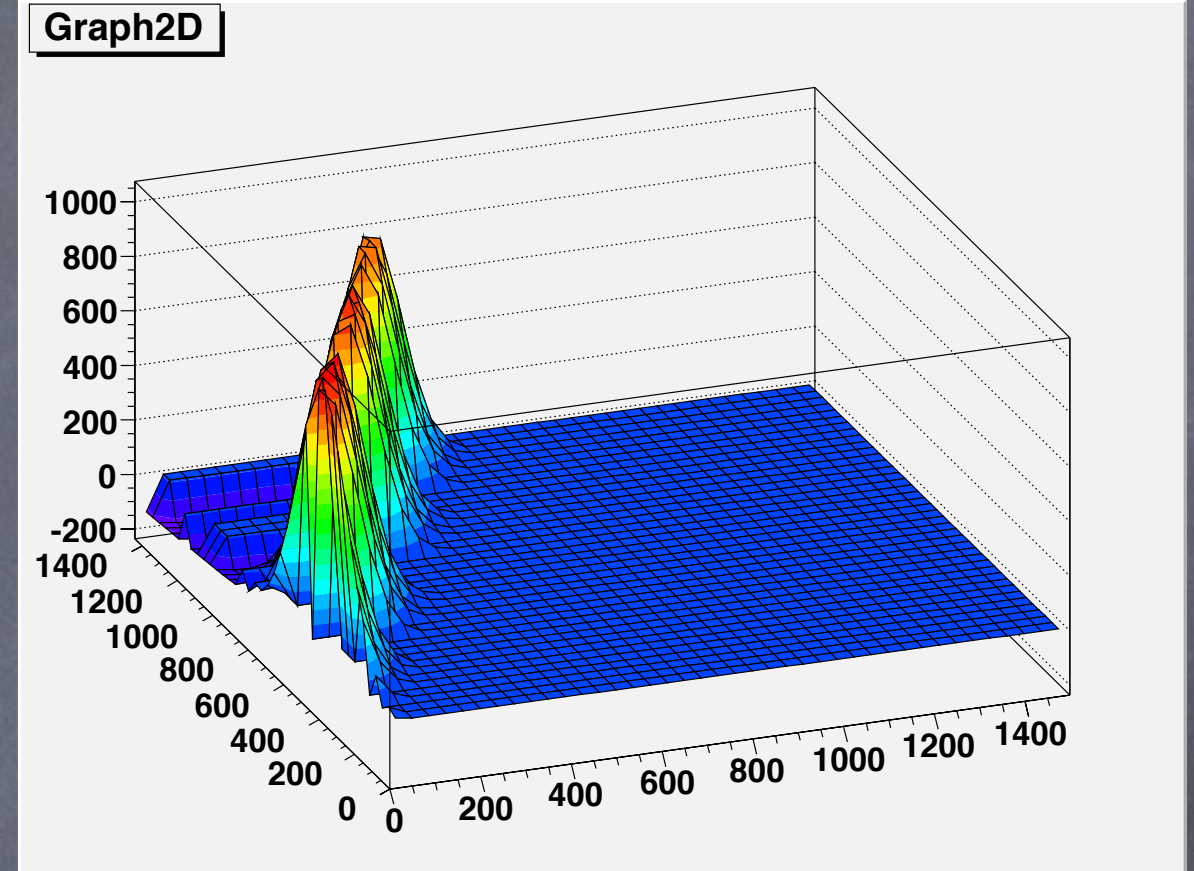
Lontano da  $\tau \sim 1/\omega_p$  ci si aspetta un andamento simile a quello di un'onda e.m in un mezzo dispersivo.

Si confronta l'andamento del campo E in un plasma e in un mezzo dispersivo, entrambi con la stessa conducibilità.

# Simulazioni numeriche



Mezzo dispersivo



Plasma

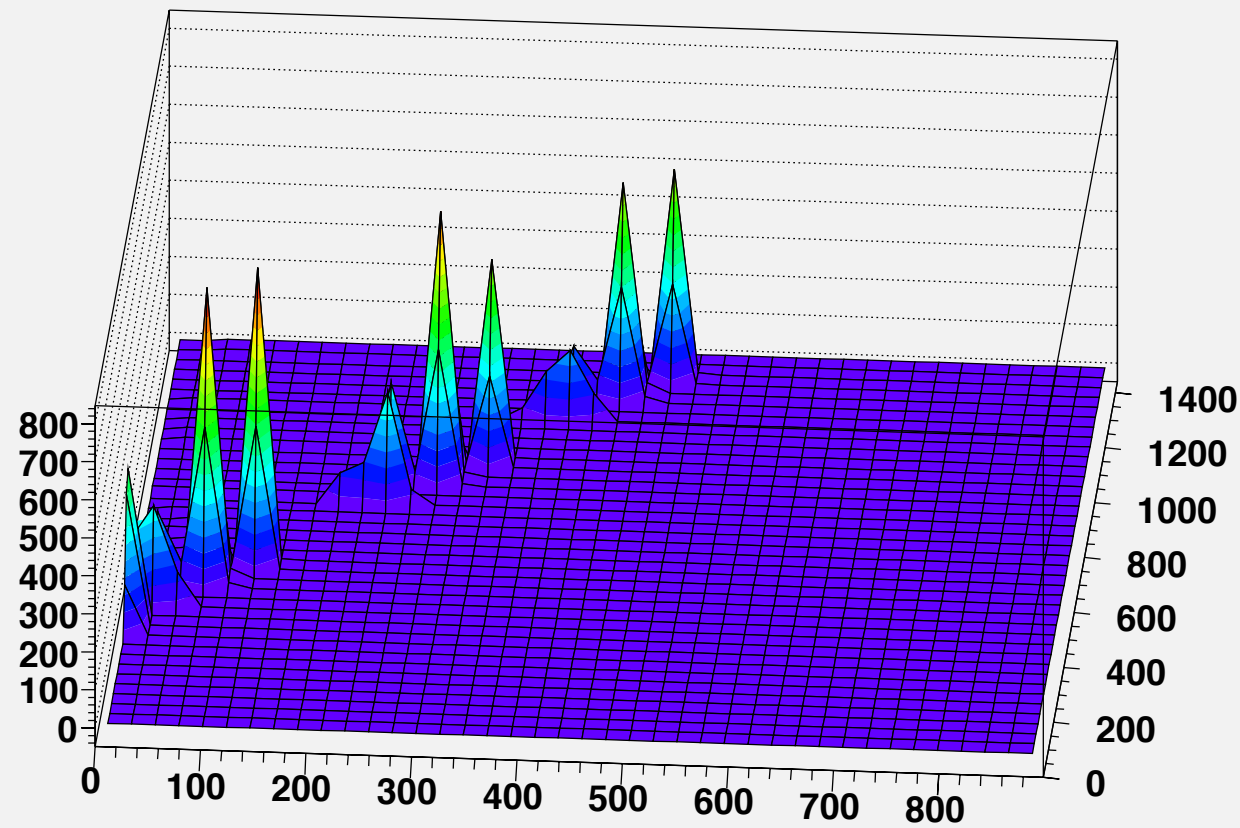
$$n = 10^{21} (m^{-3}), \sigma = 1.13 (1/\Omega m)$$

$$E_0 = 1000 \text{ V/m}, \quad \text{durata impulso} = 200 \text{ fs}$$

$$dx = 440 \text{ nm}, \quad dt = 0.73 \text{ fs} \quad S_c = 0.5 = cdt/dx$$

# Simulazioni numeriche

Graph2D



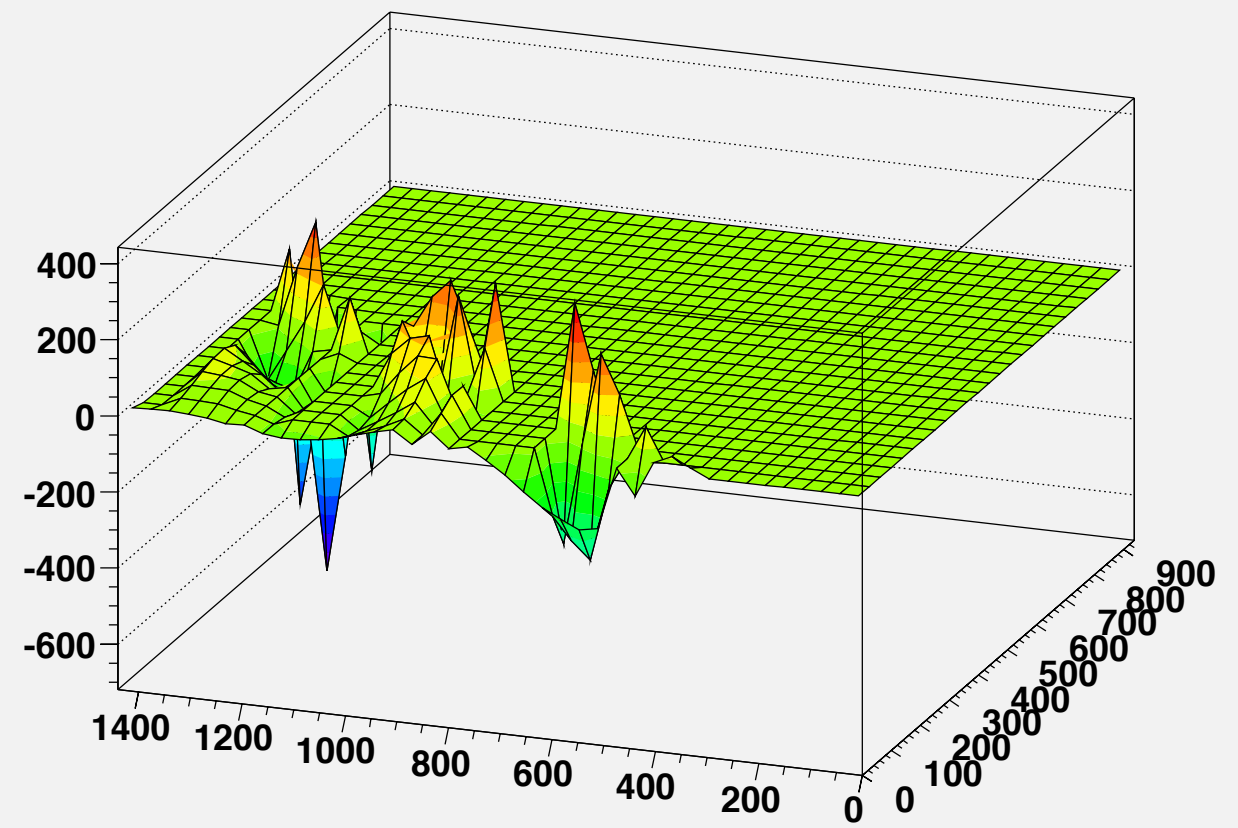
Mezzo dispersivo

$$n = 10^{21} (m^{-3}), \sigma = 1.13 (1/\Omega m)$$

$$E_0 = 1000 \text{ V/m}, \quad \text{durata impulso} = 200 \text{ fs}$$

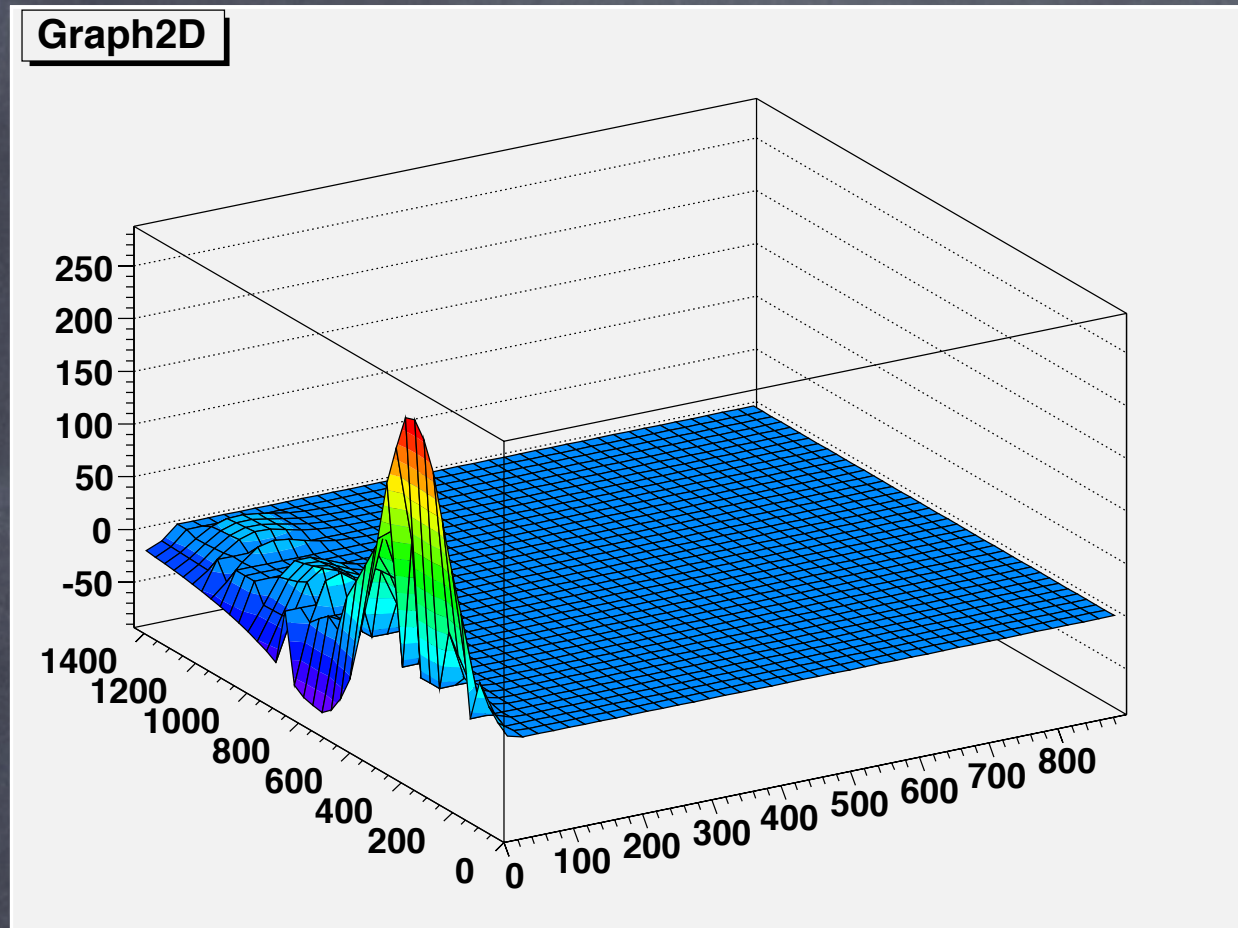
$$dx = 4400 \text{ nm}, \quad dt = 7.3 \text{ fs} \quad S_c = 0.5 = cdt/dx$$

Graph2D

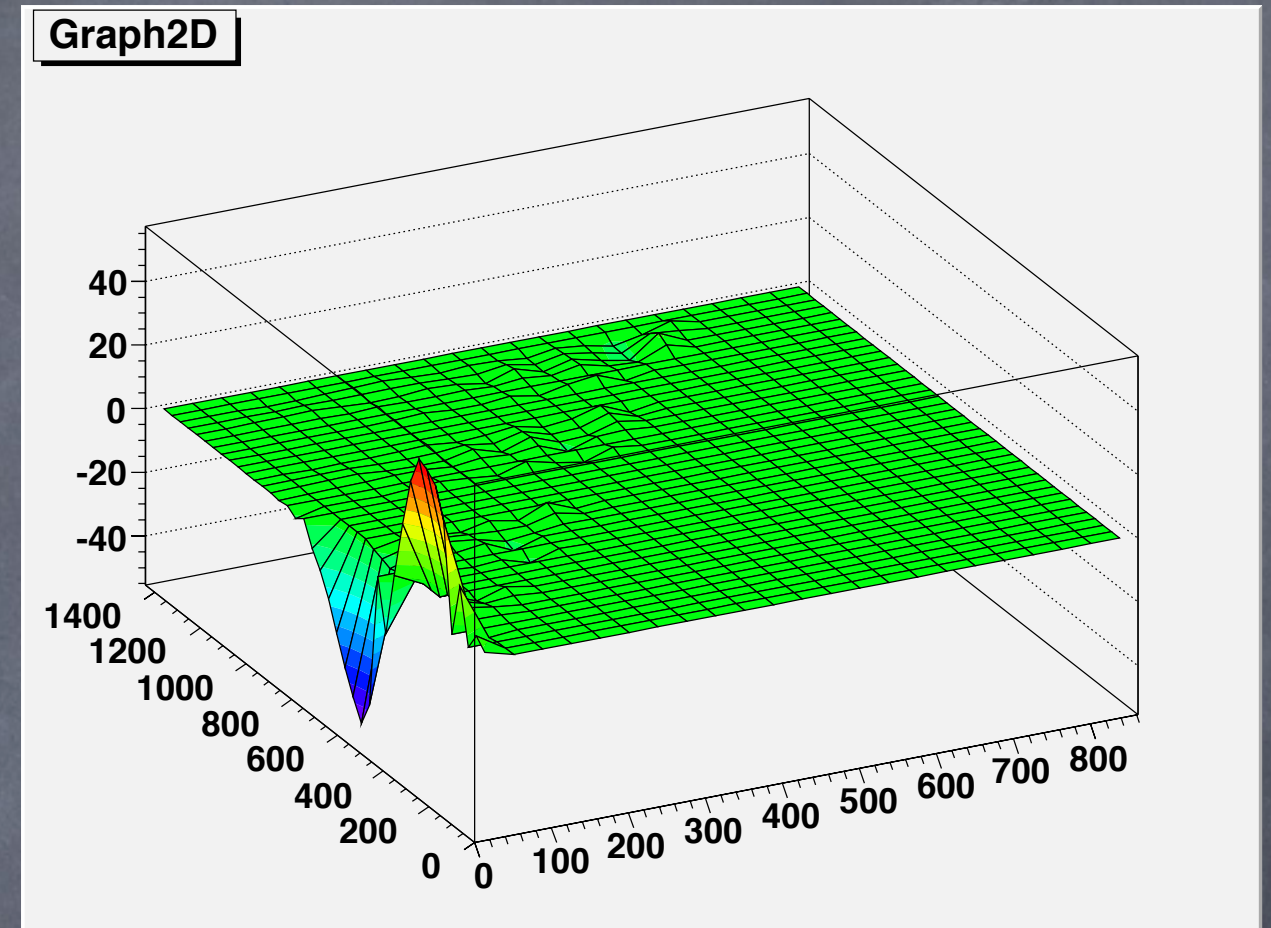


Plasma

# Simulazioni numeriche



Mezzo dispersivo



Plasma

$$n = 10^{24} (m^{-3}), \sigma = 1.13 * 10^3 (1/\Omega m)$$

$$E_0 = 1000 \text{ V/m}, \quad \text{durata impulso} = 200 \text{ fs}$$

$$dx = 440 \text{ nm}, \quad dt = 0.73 \text{ fs} \quad S_c = 0.5 = cdt/dx$$

# Numerical simulation